

НЕСТАЦИОНАРНЫЙ ТЕПЛОБМЕН ПРИ ПРОМЫВКЕ СКВАЖИНЫ

И. М. Астрахан, В. И. Марон

(Москва)

Излагается решение нестационарной осесимметричной задачи об изменении температуры жидкости, которая закачивается в скважину через центральную трубу (бурильную или эксплуатационную), опущенную до забоя, и вытекает на поверхность земли через затрубное кольцевое пространство [1, 2].

Скважина постоянной глубины L пробурена в грунте с естественным установившимся распределением температуры и до начала закачки заполнена жидкостью, температура которой изменяется в соответствии с геотермическим градиентом. Жидкость поступает в центральную трубу с постоянным расходом Q и известной температурой, меняющейся со временем. В качестве примеров рассматриваются два случая. В первом жидкость поступает в центральную трубу с постоянной температурой. Во втором случае температура жидкости, закачиваемой в центральную трубу, переменная и равна температуре жидкости, вытекающей из скважины через кольцевое затрубное пространство (замкнутая циркуляция).

Обе задачи представляют интерес для практики бурения скважин и термического воздействия на нефтяной пласт.

1. Ось Oz цилиндрической системы координат, начало которой находится на уровне поверхности грунта, направим вниз по оси центральной трубы.

Уравнения притока тепла жидкости, движущейся в центральной трубе и кольцевом пространстве, имеют вид
при $t > 0, 0 < z < L, 0 < r < R_1$

$$\pi R_1^2 \frac{\partial T_1}{\partial t} + \pi R_1^2 w_1 \frac{\partial T_1}{\partial z} = \frac{k}{c\rho} 2\pi R_1 (T_2 - T_1) \quad (1.1)$$

при $t > 0, 0 < z < L, R_1 < r < R$

$$\pi (R^2 - R_1^2) \frac{\partial T_2}{\partial t} - \pi (R^2 - R_1^2) w_2 \frac{\partial T_2}{\partial z} = \frac{k}{c\rho} 2\pi R_1 (T_1 - T_2) + q_w$$

Здесь T_1 и T_2 — температура ядра потока жидкости, движущейся соответственно в центральной и кольцевой трубах (предполагаем, что температура в поперечном сечении каждой трубы изменяется незначительно по отношению к этим величинам и они определяют температуру жидкости во всем сечении); w_1 и w_2 — средние скорости движения жидкости соответственно в центральной и кольцевой трубах (их величины равняются расходу, деленному на соответствующую площадь); q_w — поток тепла к внутренней поверхности скважины; R_1 и R — радиусы центральной трубы и скважины; ρ и c — плотность жидкости и ее удельная теплоемкость; k — коэффициент теплопередачи между жидкостью в центральной трубе и жидкостью в кольцевом пространстве.

Коэффициент теплопередачи зависит от скорости течения, теплофизических свойств жидкости, геометрии области течения и вычисляется по известным формулам теории теплопередачи.

Нетрудно видеть, что в уравнения (1.1) не входят слагаемые, учитывающие изменение теплового потока из-за теплопроводности вдоль оси и тепло, выделяющееся в жидкости из-за вязкого трения. Величинами этих слагаемых в первом приближении можно пренебречь по сравнению с остальными членами уравнений.

Кроме того, принимается, что тепловые потоки к внешней и внутренней поверхностям центральной трубы пропорциональны разности температур ядра потока в центральной и кольцевой трубах.

В последнее уравнение системы (1.1) входит величина потока тепла со стороны жидкости к внутренней поверхности скважины. Эту величину можно вычислить, если не учитывать теплопередачу внутри материала скважины и приравнять потоки тепла и температуры жидкости и грунта на ее поверхности

$$q_w = 2\pi R \kappa \lambda \left(\frac{\partial T_3}{\partial r} \right)_{r=R_1}, \quad T_2 = (T_3)_{r=R}, \quad \lambda = \frac{\lambda_3}{\lambda_1} \quad (1.2)$$

Здесь λ — отношение коэффициентов теплопроводности грунта и жидкости; T_3 — температура грунта; κ — коэффициент температуропроводности жидкости.

За практически важный интервал времени грунт прогревается вдоль радиуса на длину много меньшую, чем длина скважины, при этом перепады температуры вдоль радиуса и на длине скважины приблизительно одинаковые. Поэтому в уравнении притока тепла в грунте можно пренебречь членом $\partial^2 T / \partial z^2$ по сравнению с остальными

членами [2]. Уравнение притока тепла в грунте имеет следующий вид

$$\frac{\partial T_3}{\partial t} = \kappa_3 \frac{1}{r} \frac{\partial}{\partial r} \left(r \frac{\partial T_3}{\partial r} \right) \quad (t > 0, 0 < z < L, R < r < \infty)$$

$$T_3 = T_3(t, z, r) \quad (1.3)$$

Здесь κ_3 — коэффициент температуропроводности грунта.

Начальные и краевые условия для случая, когда жидкость поступает в центральную трубу с известной переменной температурой, имеют следующий вид:

$$\begin{aligned} T_1 = T_2 = T_3 = T_* + \Gamma z \quad (t = 0, 0 \leq z \leq L, 0 \leq r < \infty) \\ T_1 = T_0(t) \quad (t > 0, z = 0) \\ T_1 = T_2 \quad (t > 0, z = L) \\ T_3 \rightarrow T_* + \Gamma z \quad (t > 0, r \rightarrow \infty) \end{aligned} \quad (1.4)$$

Здесь T_* — температура нейтрального слоя; Γ — геотермический градиент; $T_0(t)$ — температура закачиваемой жидкости.

Введем безразмерные переменные

$$\omega = \frac{T - T_*}{T_*}, \quad \xi = \frac{z}{L}, \quad \eta = \frac{r}{R}, \quad \tau = \frac{w_1}{L} t \quad (1.5)$$

При помощи этих величин уравнения (1.1), (1.3) и предельные условия (1.4) запишутся следующим образом:

при $\tau > 0, 0 < \xi < 1, 0 < \eta < R_1/R$

$$\frac{\partial \omega_1}{\partial \tau} + \frac{\partial \omega_1}{\partial \xi} = a(\omega_2 - \omega_1) \quad \left(a = \frac{kL2\pi R_1}{\rho c Q} \right)$$

при $\tau > 0, 0 < \xi < 1, R_1/R < \eta < 1$ (1.6)

$$\frac{w_1}{w_2} \frac{\partial \omega_2}{\partial \tau} - \frac{\partial \omega_2}{\partial \xi} = a(\omega_1 - \omega_2) + \lambda b \left(\frac{\partial \omega_3}{\partial \eta} \right)_{\eta=1} \quad \left(b = \frac{2\pi \kappa L}{Q} \right)$$

при $\tau > 0, 0 < \eta < \infty, 0 < \xi < 1,$

$$\frac{\partial \omega_3}{\partial \tau} = \frac{\alpha}{\eta} \frac{\partial}{\partial \eta} \left(\eta \frac{\partial \omega_3}{\partial \eta} \right) \quad \left(\alpha = \frac{\kappa_3 \pi R_1^2 L}{R^2 Q} \right)$$

при $\tau = 0, 0 \leq \xi \leq 1, 0 \leq \eta < \infty$

$$\begin{aligned} \omega_1 = \omega_2 = \omega_3 = \gamma \xi \quad (\gamma = \Gamma L / T_*) \\ \omega_1 = \omega_0(\tau) \quad (\tau > 0, \xi = 0) \\ \omega_1 = \omega_2 \quad (\tau > 0, \xi = 1) \\ \omega_2 = (\omega_3)_{\eta=1} \quad (\tau > 0, 0 \leq \xi \leq 1) \\ \omega_3 \rightarrow \gamma \xi \quad (\tau > 0, \eta \rightarrow \infty) \end{aligned} \quad (1.7)$$

Введем новую функцию

$$\theta = \omega - \gamma \xi \quad (1.8)$$

Для этой функции уравнения (1.6) и условия (1.7) переписутся

$$\begin{aligned} \frac{\partial \theta_1}{\partial \tau} + \frac{\partial \theta_1}{\partial \xi} + \gamma = a(\theta_2 - \theta_1), \quad \theta_1 = \theta_1(\tau, \xi) \\ \frac{w_1}{w_2} \frac{\partial \theta_2}{\partial \tau} - \frac{\partial \theta_2}{\partial \xi} - \gamma = a(\theta_1 - \theta_2) + \lambda b \left(\frac{\partial \theta_3}{\partial \eta} \right)_{\eta=1}, \quad \theta_2 = \theta_2(\tau, \xi) \\ \frac{\partial \theta_3}{\partial \tau} = \frac{\alpha}{\eta} \frac{\partial}{\partial \eta} \left(\eta \frac{\partial \theta_3}{\partial \eta} \right), \quad \theta_3 = \theta_3(\tau, \xi, \eta) \end{aligned} \quad (1.9)$$

$\theta_1 = \theta_2 = \theta_3 = 0 \quad (\tau = 0, 0 \leq \xi \leq 1, 0 \leq \eta < \infty)$

$\theta_1 = \omega_0 \quad (\tau > 0, \xi = 0)$

$\theta_1 = \theta_2 \quad (\tau > 0, \xi = 1)$

$\theta_2 = (\theta_3)_{\eta=1} \quad (\tau > 0, 0 \leq \xi \leq 1)$

$\theta_3 \rightarrow 0 \quad (\tau > 0, \eta \rightarrow \infty)$ (1.10)

2. К уравнениям (1.9) и условиям (1.10) применим одномерное преобразование Лапласа — Карсона по переменной τ . Изображение функции θ , которое получается в результате преобразования по переменной τ , обозначим Θ , т. е.

$$\Theta(p, \xi, \eta) = p \int_0^{\infty} e^{-p\tau} \theta(\tau, \xi, \eta) d\tau \quad (2.1)$$

В результате преобразования получается

$$\begin{aligned} p\theta_1 + \frac{d\theta_1}{d\xi} + \gamma &= a(\theta_2 - \theta_1), & \theta_1 &= \theta_1(p, \xi), & \theta_2 &= \theta_2(p, \xi) \\ up\theta_2 - \frac{d\theta_2}{d\xi} - \gamma &= a(\theta_1 - \theta_2) + \lambda b \left(\frac{\partial \theta_3}{\partial \eta} \right)_{\eta=1} & & & \left(u = \frac{w_1}{w_2} \right) \\ p\theta_3 &= \frac{\alpha}{\eta} \frac{\partial}{\partial \eta} \left(\eta \frac{\partial \theta_3}{\partial \eta} \right), & \theta_3 &= \theta_3(p, \xi, \eta) \end{aligned} \quad (2.2)$$

$$\theta_1 = \Omega_0 \quad (\xi = 0), \quad \theta_1 = \theta_2 \quad (\xi = 1) \quad (2.3)$$

$$\theta_3 \rightarrow 0 \quad (\eta \rightarrow \infty), \quad \theta_2 = (\theta_3)_{\eta=1} \quad (0 \leq \xi \leq 1)$$

Здесь Ω_0 — изображение функции $\omega_0(\tau)$.

Решение последнего уравнения (2.2), удовлетворяющее условию на бесконечности, имеет вид

$$\theta_3 = \Phi(p, \xi) K_0(\sqrt{p/\alpha} \eta) \quad (2.4)$$

Здесь $\Phi(p, \xi)$ — неизвестная функция p и ξ , которая определяется из условия при $\eta = 1$. Нетрудно убедиться, что справедлива следующая цепочка равенств:

$$\begin{aligned} \left(\frac{\partial \theta_3}{\partial \eta} \right)_{\eta=1} &= -\Phi(p, \xi) \sqrt{p/\alpha} K_1(\sqrt{p/\alpha}) = \\ &= -\sqrt{p/\alpha} f(p, \alpha) (\theta_3)_{\eta=1} = -\sqrt{p/\alpha} f(p, \alpha) \theta_2 \\ f(p, \alpha) &= \frac{K_1(\sqrt{p/\alpha})}{K_0(\sqrt{p/\alpha})} \end{aligned} \quad (2.5)$$

Здесь $K_0(x)$, $K_1(x)$ — функции Макдональда с индексами нуль и единица.

Последнее звено цепочки подставляем во второе уравнение системы (2.2). В результате подстановки получается система уравнений для определения температуры жидкости в центральной и кольцевой трубах

$$p\theta_1 + \frac{d\theta_1}{d\xi} + \gamma = a(\theta_2 - \theta_1), \quad \theta_1 = \theta_1(p, \xi), \quad \theta_2 = \theta_2(p, \xi) \quad (2.6)$$

$$\begin{aligned} up\theta_2 - \frac{d\theta_2}{d\xi} - \gamma &= a(\theta_1 - \theta_2) - \lambda b \sqrt{p/\alpha} f(p, \alpha) \theta_2 \\ \theta_1 &= \Omega_0 \quad (\xi = 0), \quad \theta_1 = \theta_2 \quad (\xi = 1) \end{aligned} \quad (2.7)$$

Кроме того, из равенств (2.4) и (2.5) получается следующая формула для определения изображения температуры в грунте:

$$\theta_3 = \theta_2 \frac{K_0(\sqrt{p/\alpha} \eta)}{K_0(\sqrt{p/\alpha})} \quad (2.8)$$

Нетрудно найти решение системы (2.6), и затем, по формуле (2.8), определить изображение температуры в грунте θ_3 . Это решение имеет следующий вид:

$$\theta_1 = B_1 e^{\Lambda_1 \xi} + B_2 e^{\Lambda_2 \xi} + A$$

$$\theta_2 = [a^{-1}(\Lambda_1 + p) + 1] B_1 e^{\Lambda_1 \xi} + [a^{-1}(\Lambda_2 + p) + 1] B_2 e^{\Lambda_2 \xi} + A(1 + p/a) + \gamma/a \quad (2.9)$$

$$A = - \frac{up\gamma + M \sqrt{p} f(p, \alpha) \gamma}{p(u+1)a + up^2 + M \sqrt{p} f(p, \alpha)(a+p)}, \quad M = \lambda b / \sqrt{\alpha}$$

$$\Lambda_{1,2} = 1/2 [p(u-1) + M \sqrt{p} f(p, \alpha)] \pm 1/4 [p(u-1) + M \sqrt{p} f(p, \alpha)]^2 + p(u+1)a + up^2 + M \sqrt{p} f(p, \alpha)(a+p)]^{1/2}$$

Если жидкость закачивается в центральную трубу с известной непостоянной температурой, константы интегрирования B_1 и B_2 , определяемые из граничных условий, имеют вид

$$B_1 = - \frac{Ap + \gamma - (\Omega_0 + A)(\Lambda_2 + p)e^{\Lambda_2}}{e^{\Lambda_1}(\Lambda_1 + p) - e^{\Lambda_2}(\Lambda_2 + p)}, \quad B_2 = -B_1 - \Omega_0 - A$$

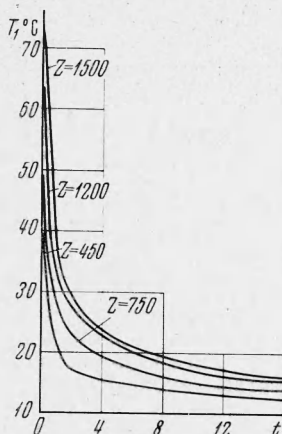
В случае замкнутой циркуляции, если температура жидкости, вытекающей из затрубного пространства, равна температуре закачиваемой жидкости, постоянные B_1 и B_2 имеют вид

$$B_1 = \frac{(\gamma + pA)(e^{\Lambda_2} - 1)}{(\Lambda_1 + p)(e^{\Lambda_1} - e^{\Lambda_2})} \quad B_2 = \frac{(\gamma + pA)(e^{\Lambda_1} - 1)}{(\Lambda_2 + p)(e^{\Lambda_2} - e^{\Lambda_1})}$$

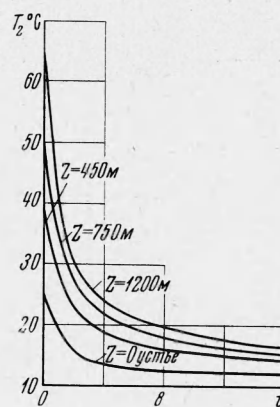
Для обращения найденных выше решений был использован численный метод, изложенный в работе [3]. Идея метода заключается в том, что оригинал ищется в виде ряда по полиномам Лежандра

$$\theta = \sum_{n=0}^{\infty} c_n P_{2n}(X), \quad X = e^{-\sigma t} \quad (2.10)$$

Для определения коэффициентов этого ряда необходимо знать значения изображения Θ в равноотстоящих точках $p = (2n + 1)\sigma$.

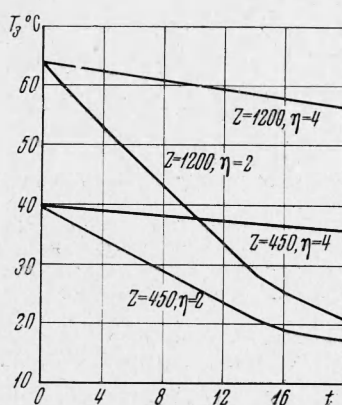


Фиг. 1

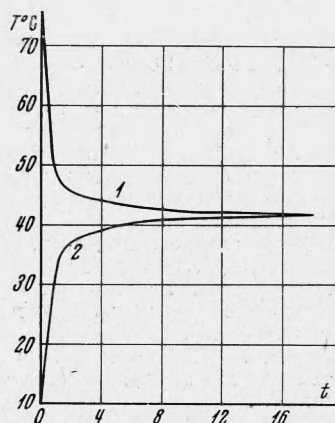


Фиг. 2

Здесь σ — положительное число, а $n = 0, 1, 2, \dots$. Выбор значения σ обуславливается величиной промежутка времени, внутри которого необходимо вычислить значения оригинала θ .



Фиг. 3



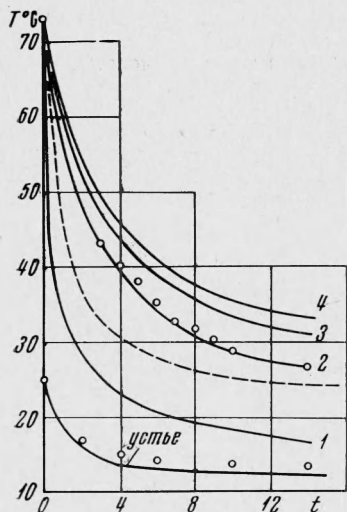
Фиг. 4

Коэффициенты c_n определяются из системы алгебраических уравнений [3]. При помощи этого метода по найденным изображениям $\Theta_1, \Theta_2, \Theta_3$ была сосчитана температура жидкости в некоторых точках скважины и грунта для различных моментов времени как в случае постоянной температуры закачиваемой жидкости, так и в случае замкнутой циркуляции.

Вычисления проводились при следующих значениях величин, определяющих условия теплообмена

$$\begin{aligned} c &= 1 \text{ ккал/кг}^\circ\text{С}, \quad \rho = 10^3 \text{ кг/м}^3, \quad \lambda_1 = 0.53 \text{ ккал/м}^\circ\text{С час}, \\ \kappa_3 &= 2 \cdot 10^{-3} \text{ м}^2/\text{час}, \quad \lambda_2 = 1 \text{ ккал/м}^\circ\text{С час}, \quad \dot{Q} = 30 \text{ л/сек} \\ L &= 1500 \text{ м}, \quad R_1 = 2.5'', \quad R = 4'' \end{aligned} \quad (2.11)$$

Коэффициент теплопередачи k между жидкостью, движущейся в центральной трубе и в кольцевом пространстве, принимался постоянным и равным $10^3 \text{ ккал/м}^2^\circ\text{С час}$. В первом рассмотренном случае считали, что $\bar{T}_0 = 9^\circ\text{С}$, $\Gamma = 0.032^\circ\text{С/м}$, $T_* = 25^\circ\text{С}$, а во втором случае $\Gamma = 0.041^\circ\text{С/м}$, $T_* = 11.5^\circ\text{С}$. Значение σ принималось равным 0.02.



Фиг. 5

Выбор значений (2.11) не был случайным. Он соответствовал условиям эксперимента по охлаждению забоя скважины. В ходе этого эксперимента была измерена температура жидкости на устье и забое скважины, в которую через центральную трубу закачивалась жидкость с температурой $T_0 = 9^\circ\text{С}$.

По результатам численного обращения и последующего перехода к размерным величинам для случая закачки жидкости с постоянной температурой T_0 , построены зависимости температуры жидкости ($T^\circ\text{С}$) от времени (t в час) в различных точках центральной трубы (фиг. 1) и затрубного пространства (фиг. 2). Для каждой кривой указано расстояние точки от устья скважины (в м).

На фиг. 3 представлен график зависимости температуры грунта от времени ($T_0 = \text{const}$), из которого видно, что грунт прогревается весьма медленно (за 20 часов на толщину около четырех радиусов).

В случае замкнутой циркуляции изменение температуры жидкости во времени на забое 1 и устье 2 скважины представлено на фиг. 4; графики свидетельствуют о быстром выравнивании температуры циркулирующей жидкости.

На фиг. 5 представлены зависимости температуры жидкости от времени на забое и устье скважины при различных значениях коэффициента теплопередачи k . Кривым с номерами 1, 2, 3, 4 соответствуют следующие значения k : 10^3 , $2 \cdot 10^3$, $3 \cdot 10^3$, $4 \cdot 10^3 \text{ ккал/м}^2^\circ\text{С час}$.

На основании построенных графиков можно сделать вывод о том, что величина коэффициента теплопередачи в большей мере влияет на температуру жидкости на забое, чем на устье (температурные кривые на устье почти совпадают). Кроме того, на фиг. 5 пунктирной линией показан график изменения температуры жидкости на забое скважины, подсчитанной по формулам работы [2], при значении коэффициента теплопередачи $k=2 \cdot 10^3 \text{ ккал/м}^2^\circ\text{С час}$. Кружочки (фиг. 5) соответствуют температуре жидкости на устье и забое скважины, измеренной в упомянутом выше эксперименте. Результаты эксперимента и расчета при $k = 2 \cdot 10^3 \text{ ккал/м}^2^\circ\text{С час}$ хорошо совпадают.

Изложенное позволяет заключить, что так как температура жидкости существенно меняется в широком диапазоне времени, то рассматриваемую задачу нельзя решать в предположении о стационарном характере теплообмена [1].

Результаты эксперимента достаточно хорошо совпадают с расчетными даже при постоянном значении коэффициента теплопередачи.

Из графиков следует, что для расчета температуры жидкости можно пользоваться формулами работы [2], в которой для решения задачи использован метод последовательной смены стационарных состояний. При выбранном значении σ количество членов ряда (2.10), обеспечивающих заданную точность, изменялось от четырех до шести в зависимости от значения ξ .

Вычисление коэффициентов этого ряда по соответствующим формулам работы [3] не представляет особых трудностей и может быть выполнено на счетных машинах типа «Рейнметалл».

Поступила 11 III 1968

ЛИТЕРАТУРА

1. Е сь м а н Б. И., Д е д у с е н к о Г. Я., Я и ш н и к о в а Е. А. Влияние температуры на процесс бурения глубоких скважин. М., Гостоптехиздат, 1962.
2. Ч а р н ы й И. А. О термическом режиме буровых скважин. Газовая промышленность, 1966, № 10.
3. P a o u l i s A. A new method of inversion of the Laplace transform. Quart. appl. mathem., 1957, vol. 14, No. 4, p. 405—414.